

- [5] Weber E., Alexander H. // Solid State Commun. 1980. V. 37. N 5. P. 371-373.
- [6] Гольдфарб М.В., Молоцкий М.И. Тез. докл. 14-го Всес. Пекаровского совещания по теории полупроводников. Донецк: ДФТИ АН УССР, 1989. С. 53.
- [7] Omling P., Weber E.R., Montenius L., Alexander H., Mischel J. // Phys. Rev. B. 1985. V. 32. N 10. P. 6571-6581.
- [8] Гладков С.О., Кикоин К.А., Флевров В.Н. В сб.: Спектроскопия кристаллов. М.: Наука, 1985. С. 195-205.
- [9] Баженов А.В., Красильникова Л.Л. // ФТТ. 1986. Т. 28. В. 1. С. 235-241.
- [10] Молоцкий М.И. // ФТТ. 1988. Т. 30. В. 6. С. 1880-1882.

Воронежский государственный
университет

Поступило в Редакцию
1 ноября 1989 г.

Письма в ЖТФ, том 16, вып. 5

12 марта 1990 г.

05.2; 05.4

© 1990

НЕОДНОРОДНЫЕ МАГНИТНЫЕ СОСТОЯНИЯ
НА ГРАНИЦЕ ФЕРРИТ-СВЕРХПРОВОДНИК
С РЕШЕТКОЙ ВИХРЕЙ

С.В. М е р и а к р и

Периодические магнитные неоднородности в ферритах вызывают большой практический интерес в связи с использованием их при создании элементов для аналоговой обработки сигналов на основе дифракции спиновых волн [1], или лазерного излучения [2] на этих неоднородностях. Решетки вихрей Абрикосова представляют собой систему периодических магнитных неоднородностей. Поля рассеяния таких периодических магнитных неоднородностей, проникая в феррит, приведенный в контакт со сверхпроводником, вызовут в нем неоднородное магнитное состояние с симметрией и периодичностью решетки вихрей сверхпроводника. В работе рассчитаны неоднородные магнитные состояния, возникающие в однородном магнитном поле H_0 , при его контакте со сверхпроводником 2-го рода с решеткой вихрей (треугольной или квадратной). Взаимное влияние сверхпроводимости вблизи границы раздела сверхпроводник-ферромагнетик исследовалось в ряде работ [3-5]. Так, в [5] показано, что при

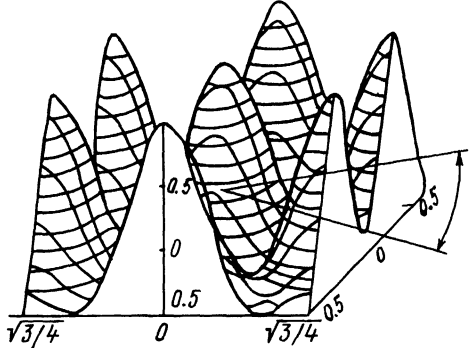


Рис. 1. Распределение $h_{DZ}^{(1)}$ в плоскости X, Y . Треугольная решетка.

определенных условиях (в частности, для сверхпроводников с высокими T_c) в тонкой ферромагнитной пленке при контакте со сверхпроводником возникает мелкомасштабная доменная структура с периодом $a_M \ll \xi_0$ (ξ_0 - длина когерентности сверхпроводника). При этом происходит эффективное усреднение обменного взаимодействия на размерах куперовской пары. В рассматриваемом в работе случае при контакте сверхпроводника с ферритом часть электронов сверхпроводника перейдет в приграничную область феррита. Будем считать, что в такой ситуации, согласно [5], на поверхности феррита образовалась мелкомасштабная доменная структура с толщиной t и периодом $a_M, t \ll \xi_0$. Такая тонкая пленка на поверхности феррита будет экранировать влияние обменного поля объема феррита, так что влияние феррита на сверхпроводник можно считать малым. В связи с этим будем считать, что контакт с ферритом не меняет решетку вихрей сверхпроводника.

Пусть сверхпроводник занимает полупространство $z > 0$, а феррит $-z < 0$. $H_o > H_{cr}$, $H_o \parallel \vec{OZ}$ и достаточно, чтобы намагнитить феррит до насыщения. Расстояние между вихрями в сверхпроводнике $a \sim \sqrt{\varphi \Phi_0 / H_o}$, где Φ_0 - единичный квант потока, $\varphi = 2/\sqrt{3}$ для треугольной решетки, $\varphi = 1$ - для квадратной. Звезда волновых векторов 1 зоны Бриллюэна $K_{1,2} = +\vec{i}\vec{K}, K_{2,4} = \pm \vec{j}\vec{K}$ - для квадратной решетки, $K_{1,2} = (\frac{1}{2}\vec{i} \pm \frac{\sqrt{3}}{2}\vec{j}) \cdot \vec{k}, K_3 = -\vec{k} \cdot \vec{i}, K = 2\pi\varphi/a; \vec{i}, \vec{j}$ - орты вдоль осей ОХ, ОУ. Равновесное распределение намагниченности в ферrite определяется совместным решением стационарного уравнения Ландау-Лифшица $[\vec{M}, \delta F / \delta \vec{M}] = 0$ и уравнений магнитостатики. Рассмотрим легкоосный ферромагнетик с легкой осью $\parallel \vec{OZ}$. Свободная энергия имеет вид

$$F = 4\pi M_o^2 \int d\sigma \left\{ \frac{1}{2} \alpha (\nabla \vec{m})^2 + \frac{1}{2} \beta \vec{m}_\perp^2 - h_0 m_z + \frac{h_D^2}{2} \right\}.$$

Здесь M_0 — намагниченность насыщения феррита, $\alpha = \omega/4\pi$; $\beta = K/4\pi$; α и $K > 0$ — обменная постоянная и константа односторонней анизотропии, $\vec{m} = \vec{M}/M_0$; $\vec{h}_D = \vec{H}_D/4\pi M_0$, \vec{M} и \vec{H}_D — вектор магнитного момента и размагничивающие поля в ферrite, $h_0 = H_0/4\pi M_0$, $\vec{m}_\perp = (m_x, m_y)$. Считая $m_z \gg m_x, m_y$, линеаризуем систему уравнений Ландау-Лифшица и магнитостатики. Решение ищем с учетом симметрии задачи (ось C_4 или C_6) методом, аналогичным работе [6] в виде разложения в ряды Фурье. Для зависимости волнового числа по толщине $q(l)$ от модуля волнового вектора l -ой зоны Бриллюэна получаем уравнение

$$q_{(l)}^4 + q_{(l)}^2 \left(2K_{(l)}^2 + \frac{\beta + h_0}{\alpha} \right) + K_{(l)}^2 \left[\frac{\beta + h_0 + 1}{\alpha} + K_{(l)}^2 \right] = 0. \quad (1)$$

Исследования (1) для $\alpha = 3.1 \cdot 10^{-11} \text{ см}^2$ (ЖИГ) $0 < \beta < 10$, $50 \text{ Э} < H_0 < 10^4 \text{ Э}$; $4\pi M_0 = 1750 \text{ Э}$ показали, что для $\beta \ll 1$ во всем диапазоне полей будут существовать 2 поверхностных неоднородности как для квадратной, так и для гексагональной решетки. $\beta > 1$ — будет существовать 1 поверхностно-объемная неоднородность, для $\beta \sim 1$ возможны либо тот, либо другой случай в зависимости от H_0 .

Амплитуды неоднородной намагниченности и полей размагничивания получаем с учетом граничных условий электродинамики в плоскости $z = 0$.

Выпишем здесь решения для первой зоны Бриллюэна $l = 1$ (остальные решения находятся аналогично).

а) Поверхностно-объемные решения:

$$h_{DZ} = \Lambda \cdot [Imq \sin(Reqz) + Req \cos(Reqz)] \cdot \Pi,$$

$$h_{Dx} = k\Lambda \sin(Reqz) \cdot \Pi_x; \quad m_x = -k\Lambda \sqrt{\rho} \sin(Reqz + \psi) \cdot \Pi_x,$$

$$h_{Dy} = -k\Lambda \sin(Reqz) \cdot \Pi_y; \quad m_y = -k\Lambda \sqrt{\rho} \sin(Reqz + \psi) \cdot \Pi_y.$$

$$\text{Здесь } \Lambda = (D/Req) l^{Imqz}; \quad D = A/4\pi M_0; \quad A = \frac{\Phi_0}{1 + \lambda^2 k^2} J_0(k\xi_0);$$

J_0 — функция Бесселя нулевого порядка, λ — лондоновская глубина проникновения магнитного поля в сверхпроводник,

$$\psi = \arctg \left\{ 2Req \cdot Imq \cdot \left\{ \alpha [(Req)^2 - (Imq)^2 + k^2] + \beta + h_0 \right\}^{-1} \right\},$$

$$\rho^{-1} = \left\{ \left\{ \alpha [(Req)^2 - (Imq)^2 + k^2] + (\beta + h_0) \right\}^2 + (2Req \cdot Imq)^2 \right\}^2,$$

$$\Pi = \cos kx + \cos ky, \quad \Pi_x = \sin kx, \quad \Pi_y = \sin ky -$$

для квадратной решетки;

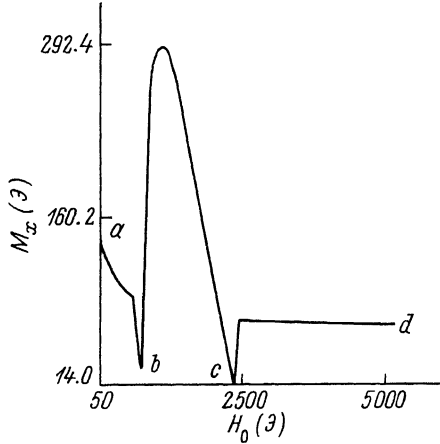


Рис. 2. Зависимость M_x от H_0 для квадратной решетки. $\alpha = 3 \cdot 10^{-11}$ см², $\beta = 0.75$, $4\pi M_0 = 1750$ Э. Линии ab и cd соответствуют поверхности неоднородной намагниченности, линия bc — поверхности объемной неоднородности. $\lambda = 2500$ А — глубина проникновения магнитного поля в сверхпроводник, $\xi_0 = 20$ А, $H_{c1} = 50$ Э.

$$\Pi = \cos\left(\frac{1}{2}kx + \frac{\sqrt{3}}{2}ky\right) + \cos\left(\frac{1}{2}kx - \frac{\sqrt{3}}{2}ky\right) + \cos kx;$$

$$\Pi_x = \frac{1}{2} \left[\sin\left(\frac{1}{2}kx + \frac{\sqrt{3}}{2}ky\right) + \sin\left(\frac{1}{2}kx - \frac{\sqrt{3}}{2}ky\right) - 2 \sin kx \right];$$

$$\Pi_y = \frac{\sqrt{3}}{2} \left[\sin\left(\frac{1}{2}kx + \frac{\sqrt{3}}{2}ky\right) - \sin\left(\frac{1}{2}kx - \frac{\sqrt{3}}{2}ky\right) \right] -$$

для треугольной решетки.

Для поверхностной неоднородности

$$h_{Dz} = \frac{D}{q_1 - q_2} \left[q_1 I^{q_1 z} - q_2 I^{q_2 z} \right] \cdot \Pi;$$

$$h_{Dx} = E_2 \Pi_x; \quad h_{Dy} = E_2 \Pi_y; \quad m_x = E_1 \Pi_x; \quad m_y = E_2 \Pi_y;$$

$$E_2 = -\frac{kD}{q_1 - q_2} \left[I^{q_1 z} - I^{q_2 z} \right];$$

$$E_1 = -\frac{kD}{q_1 - q_2} \left[\frac{I^{q_1 z}}{\alpha^2(-q^2 + k^2) + \beta + h_0} - \frac{I^{q_2 z}}{\alpha^2(-q^2 + k^2) + \beta + h_0} \right].$$

Заметим, что для решений поверхностного объема типа \vec{m}_1 и \vec{h}_1 имеют сдвиг по фазе в распределении по толщине, так при $z = 0$ $h_x = h_y = 0$, а $\vec{m}_1 \neq 0$. При выводе (2)–(3) толщина мелкомасштабной доменной структуры [5] считалась пренебрежимо малой.

На рис. 1 показано распределение решения $h_{Dz}^{(1)}$ для первой зоны Бриллюэна в плоскости X, Y для треугольной решетки. На рис. 2 показана зависимость $m_x M_0$ от H_0 для квадратной решетки, $\sqrt{3} = 0.75$. Линии ab и cd соответствуют поверхностным неоднородностям, линия bc – поверхностно-объемной неоднородности. Как видно из рисунка, амплитуда неоднородности может быть выбрана достаточной для наблюдения дифракции света или спиновых волн на ней. Период неоднородности в ферrite задает период вихрей в сверхпроводнике, которым можно управлять в широких пределах 10^{-4} см $\leq \alpha \leq 10^{-6}$ см с помощью внешнего магнитного поля, т.е. структура ферритсверхпроводник с решеткой вихрей дает возможность создавать управляемые в широких пределах внешним полем неоднородности, которые трудно создать другими путями. Такие неоднородности можно использовать при создании перестраиваемых внешним полем элементов обработки сигналов на спиновых волнах или магнитостатическом рассеянии лазерного излучения.

Список литературы

- [1] Гуляев Ю.В., Зильберман П.Е. Спиноволновая электроника. М.: Знание. 1988.
- [2] Прохоров А.М., Смоленский Г.А., Агеев А.М. // УФН. 1984. Т. 142. В. 3. С. 33.
- [3] Сонин Э.Б. // Письма в ЖТФ. 1988. Т. 14. В. 18. С. 1640–1644.
- [4] Ilinikh A.L, Shapiro B.Ya. // Phys. St. Sol. (b). 1989. V. 154. N 2. P. 679–690.
- [5] Буздин А.И., Булаевский Л.Н. // ЖЭТФ. 1988. Т. 94. В. 3. С. 250–261.
- [6] Беспятых Ю.И., Дикштейн И.Е., Меракри С.В., Тарасенко В.В. // ФТТ. 1982. Т. 24 В. 2. С. 449–457.

Поступило в Редакцию
2 декабря 1989 г.